

#### もくじ

- 簡易遮蔽計算コードレビューWG の活動 POKER(点減衰核積分法)
- ベンチマーク実験の概要
- PHITS による解析結果 [Counter] 機能 を用いた解析
- ・まとめ

#### WG の活動

- 日本原子力学会 放射線工学部会 「簡易遮蔽計算コードレビューWG」 (第1期) (簡易遮蔽解析コードレビューWG),2016.01~
  - 第3期,2020.02~ 放射線安全規制研究戦略的推進事業 「ICRP 2007年勧告等を踏まえた遮蔽安全評価法 の適切な見直しに関する研究」 POKER
  - 第4期,2023.05~
    (添付図書)
    「原子力第一船むつ遮蔽透過実験ベンチマーク解析」

## POKER の紹介

#### (国産の簡易遮蔽計算コード!!)

POKER 光子 (ガンマ線) の簡易遮蔽計算コード

Shielding Dose Calculation Code with Point Kernel Techniques

#### 最新のICRP勧告とデータに基づく光子の遮蔽計算

・最新の線量換算係数、同位体放射線データ、30MeVまでの光子・原子相互作用データ

#### 放射線施設の遮蔽計算と許可申請・届出を行う人のために

 原子力規制庁の規制研究を通じた監修 放射線安全規制研究戦略的推進事業費(ICRP2007年勧告等を踏まえた遮蔽安全評価法の適切な見直しに関する研究)

#### 純国産100%

・日本原子力学会放射線工学部会簡易遮蔽計算WG 国立研究開発法人のガチ遮蔽研究者 原子力・放射線施設の遮蔽設計・申請を担う遮蔽実務家 遮蔽計算を熟知した本職プログラマー



PointKernel.com



### ベンチマーク解析(PHITS)

- Benchmark study of particle and heavyion transport code system using shielding integral benchmark archive and database for accelerator-shielding experiments, J. Nucl. Sci. Technol. 59 (2022).
- その他(J-PARC、HSS06<sup>※</sup>、 核内カスケード<sup>※※</sup>、Inter-comparison)
   @ SATIF

\* HSS06: Hadronic Shower Simulation Workshop, 2006

http://conterences.tnal.gov/hssU6/

XX Benchmark of Spallation Models (IAEA)

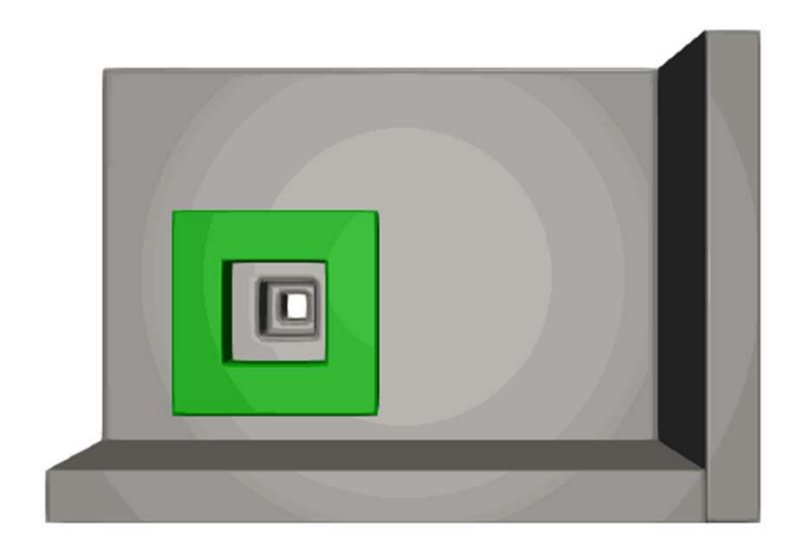
https://www-nds.iaea.org/spallations

#### ベンチマーク解析を行う上で

- 計算体系を詳細かつ正確に造る!
  PHITS によるシミュレーションとは、
  ヴァーチャルな世界 に実験体系を構築し、
  体系内での放射線の振る舞いを観察する。
- "if" が実現できる世界 を堪能しましょう。「Counter] 機能 を用いた解析

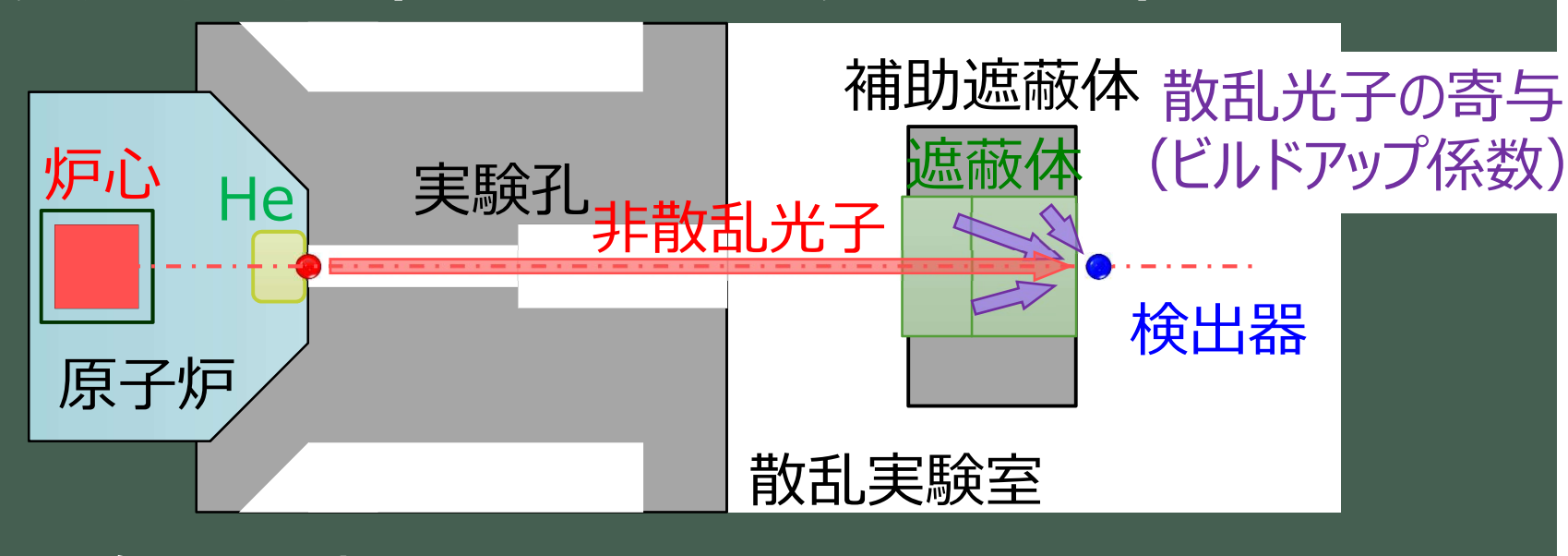
# コンクリート透過実験

JRR-4 散乱実験設備



# 実験体系(POKER/PHITS用)

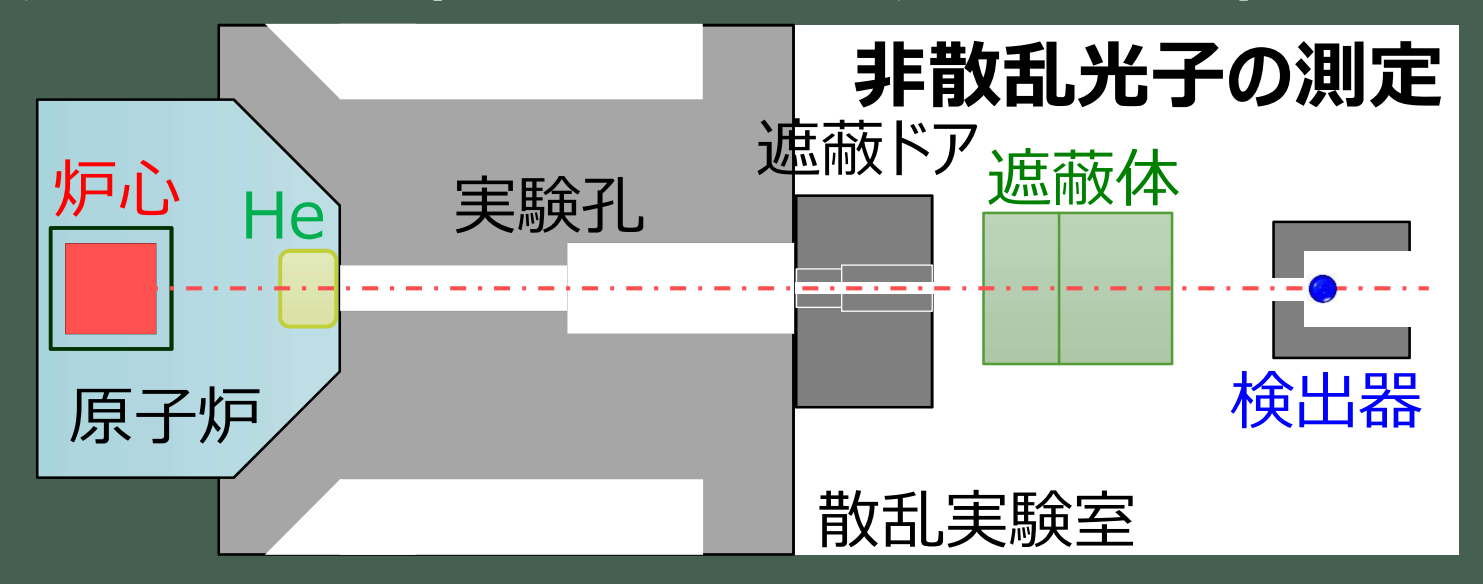
• 実験体系(JRR-4 散乱実験設備)



- 線源要素:炉心、ヘリウムタンク、ボラル板、実験孔
- 遮蔽体: 普通コンクリート / 重コンクリート

#### 実験体系(PHITS用)

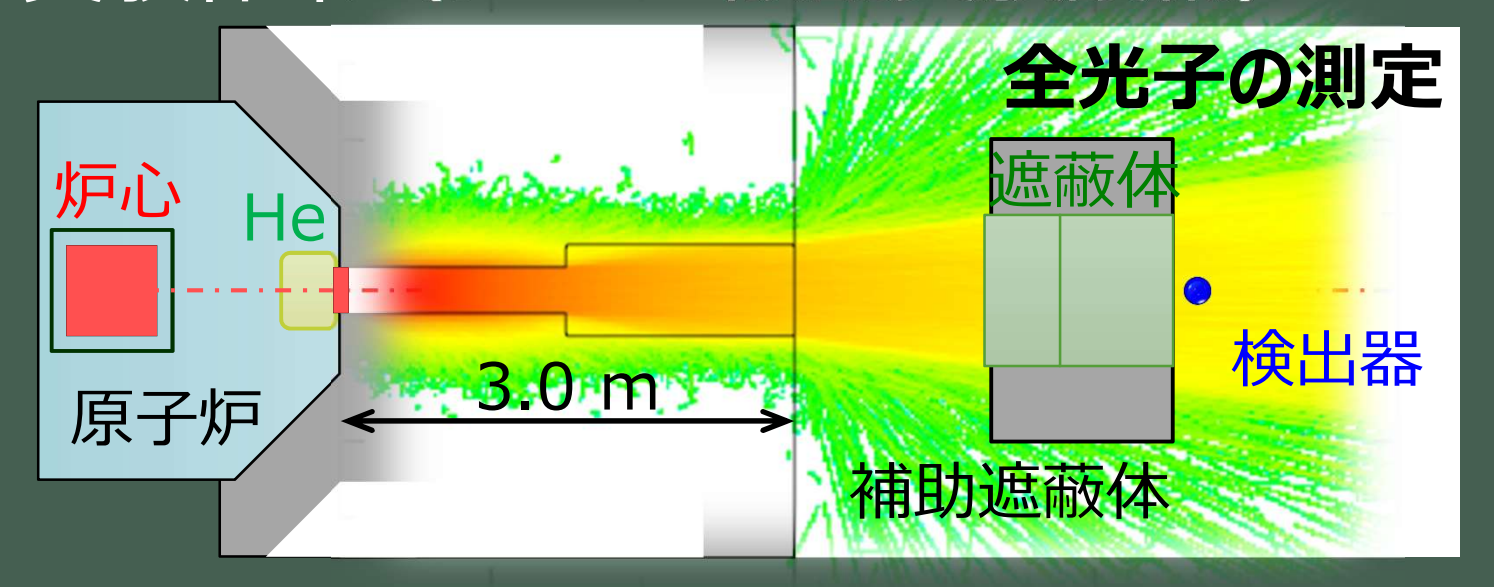
• 実験体系(JRR-4 散乱実験設備)



- 線源要素: 炉心、ヘリウムタンク、ボラル板、遮蔽ドア
- 遮蔽体: 普通コンクリート / 重コンクリート

## 線源(実験孔)の設定

• 実験体系(JRR-4 散乱実験設備)



線源の 位置・放出角度:
 炉心 → 実験孔の炉心側、±20度



モンテカルロ法らしさ を 失わないように!

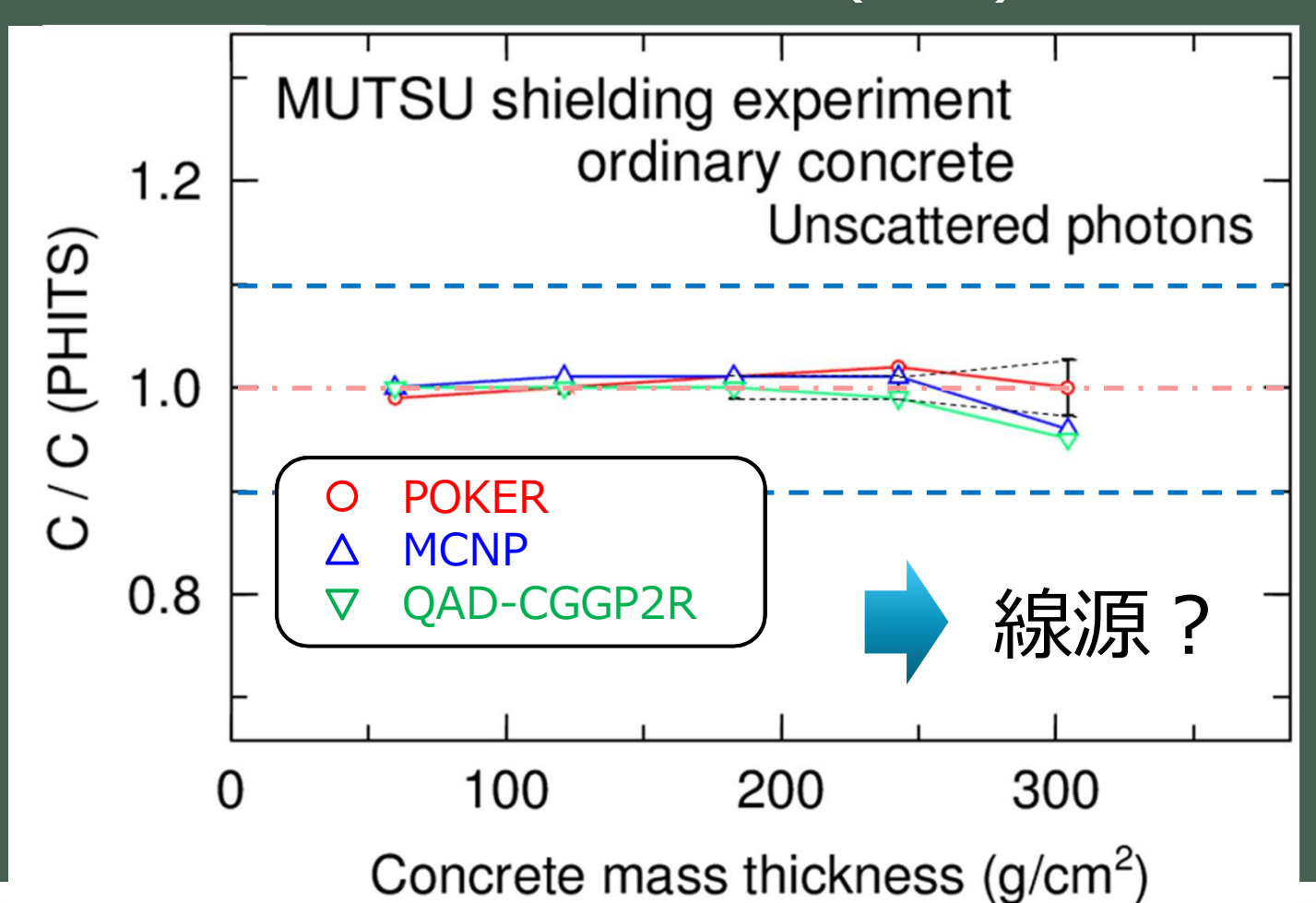
# 計算結果(C/M)

- 全光子(散乱光子込み)
  PHITS による計算結果(C) は、測定結果(M) に対して 10%以内でよく一致した。 (重コン 100 cm を除く。)
- 一方で、非散乱光子は、・・・

		測定結果 (M)		PHITS 3.20 (C)		C/M	
	厚さ	非散乱光子	全光子	非散乱光子	全光子	非散乱光子	全光子
	(cm)	Unscattered /	Total photons	Unscattered /	Total photons	Unscattered / <sup>-</sup>	Total photons
遮蔽体: 無	0	1.0	1.0	1.0	1.0	1.00	1.00
	25.2	1.06E-01	2.39E-01	1.18E-01	2.36E-01	1.11	0.99
遮蔽体:	50.1	1.48E-02	4.56E-02	1.62E-02	4.42E-02	1.10	0.97
普通コンクリート	75.3	2.13E-03	9.19E-03	2.57E-03	8.24E-03	1.21	0.90
	100.5	3.43E-04	1.81E-03	4.65E-04	1.68E-03	1.35	0.93
	125.4	5.70E-05	3.78E-04	8.71E-05	3.40E-04	1.53	0.90
	25	3.52E-02	9.26E-02	3.94E-02	9.68E-02	1.12	1.05
遮蔽体:	50	2.17E-03	7.64E-03	2.25E-03	7.74E-03	1.04	1.01
重コンクリート	75.1	1.33E-04	6.82E-04	1.42E-04	6.24E-04	1.07	0.91
	100.1	7.11E-06	6.04E-05	1.01E-05	5.09E-05	1.42	0.84

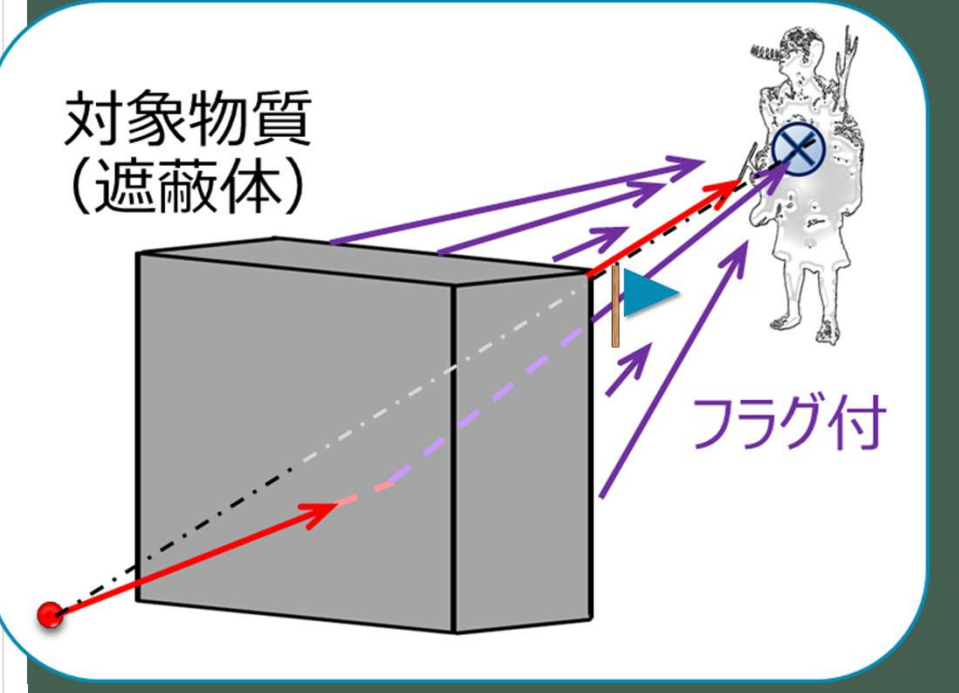
# 計算結果(C/C)

• 非散乱光子 は、計算コード間(C/C) でよく一致した。



# [Counter]機能を用いた解析

 フラグ を立てて、<u>観察対象の放射線</u>を弁別 (散乱/非散乱 光子)





解析 と同時に、ビルドアップ係数 も試算

厚さ (cm)	普通/重 コンクリート			
0	1.07	1.07		
25	2.16	2.64		
50	2.91	3.86		
75	3.54	4.67		
100	4.02	5.70		
125	4.49			

#### まとめ

• 簡易遮蔽計算コードレビューWG の活動の一環として、光子の「コンクリート透過実験」を対象としたベンチマーク解析を実施した。

(この報告書は、近日公開予定です。)

- 普通コンクリートの遮蔽体 に対する PHITS の 計算結果は、測定結果をよく再現した。(±10%)
- **PHITS** の 妥当性検証(Validation)は、これまでも数多く行われてきているが、今後も皆さまのご協力をお願いします。

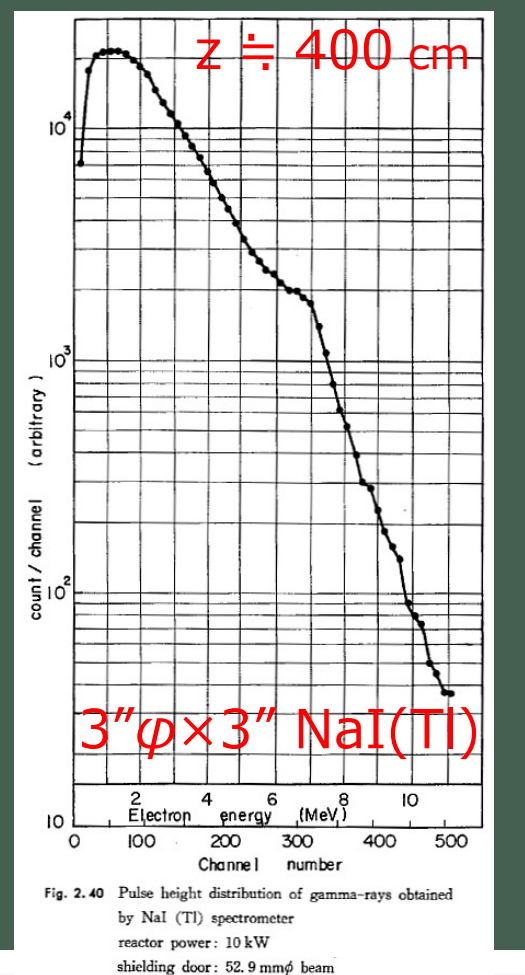
# おしまい

ご清聴ありがとうございました。

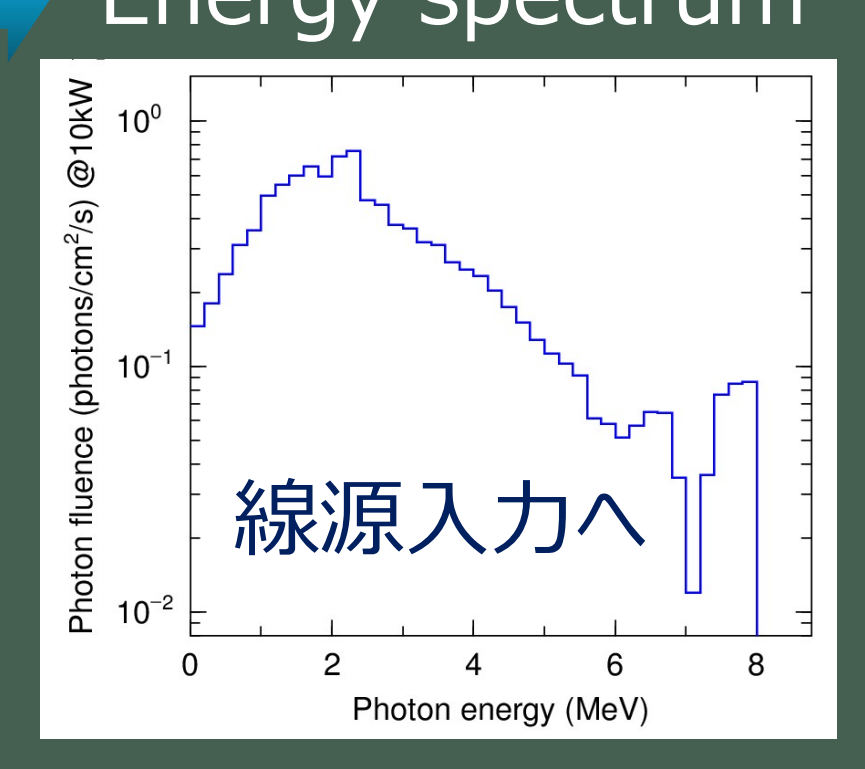
# 補足資料

## 光子のエネルギースペクトル

Pulse height distribution

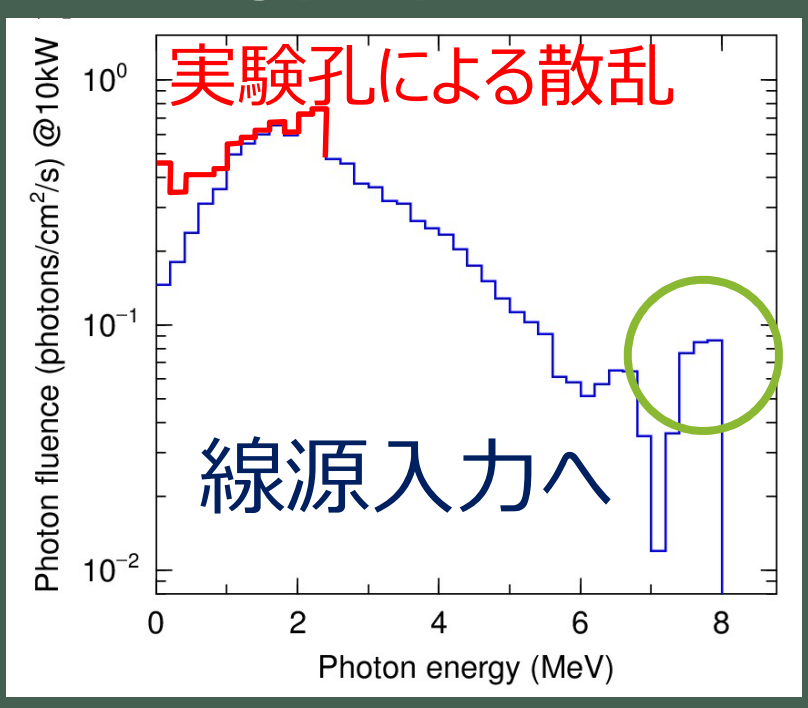


逆マトリクス法 で変換 Energy spectrum

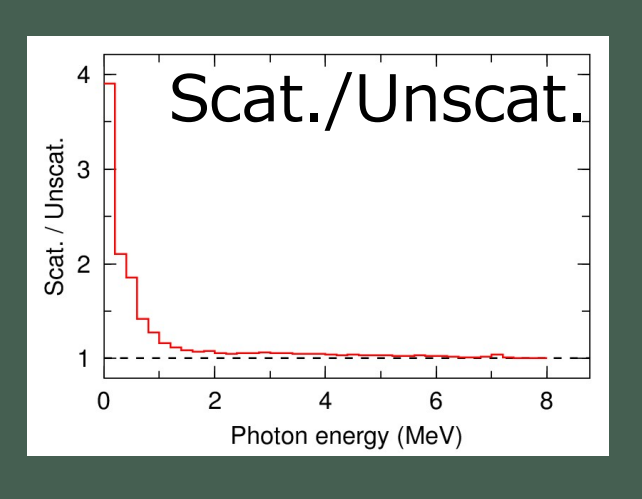


#### 線源に関する課題

Energy spectrum









鉄の捕獲ガンマ線? (6 MeV付近や7.6 MeV)

ただし、

燃料: U-AI 合金(AI)

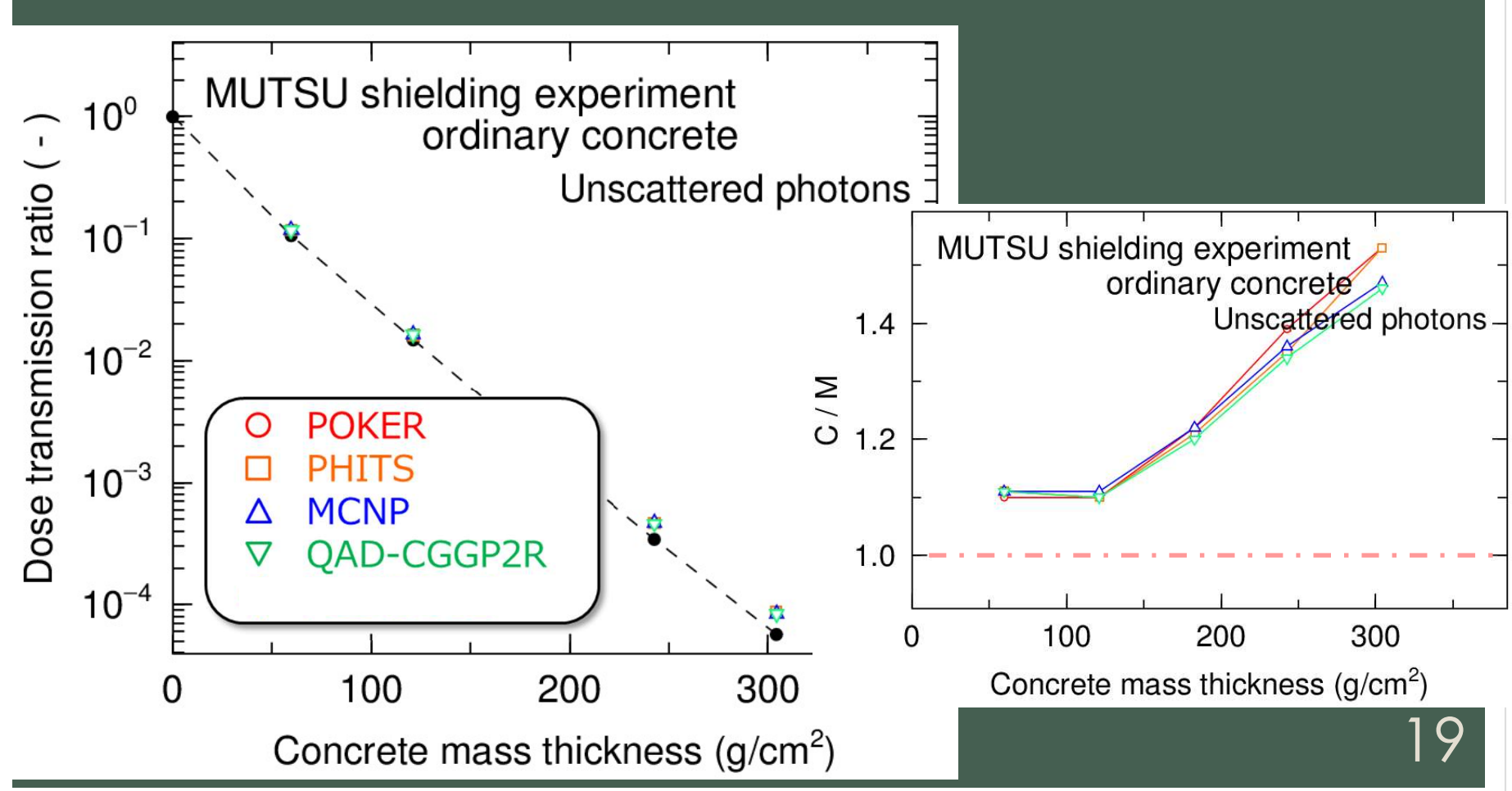
反射体: 黒鉛(AI)

制御板: ボロン入り

ステンレス鋼

# 計算結果 ALL(C/M)

• 非散乱光子は、遮蔽体の厚さにより差異が拡大



# 計算結果 ALL(C/M)

• 全光子は、遮蔽体の厚さに関わらずほぼ一様の差異

